

CAP-G

Сопловый диффузор





CAP-G

сопловый диффузор

Описание

CAP-G – это сопловый диффузор для подвесных потолков из гипсокартона с мини-камерой статического давления, который идеально подходит для подачи воздуха в офисные помещения, магазины, поликлиники и т.д.

Основные характеристики

- Универсальное регулирование воздушного потока на 1-2-3-4 стороны;
- Отличное смешивание воздуха даже при небольших расходах, что подходит для VAV-вентиляции;
- Большая пропускная способность диффузора, при этом сохраняется низкий уровень шума и умеренный перепад давления;
- Компактная конструкция

Конструкция



Рис.2. Конструкция CAP-G

Конструкция

Диффузор CAP-G из оцинкованной стали представляет собой мини-камеру статического давления с патрубком с резиновым уплотнением и лицевую панель с множеством поворотных дисков (сопел). Сопла можно вращать на 360° в любом направлении.

Соответствующие направления данных сопел позволяет генерировать воздушный поток в любом направлении – на одну, две, три, четыре стороны или вертикально вниз. При монтаже диффузора в подвесной потолок используются отверстия для шурупов на задней панели.

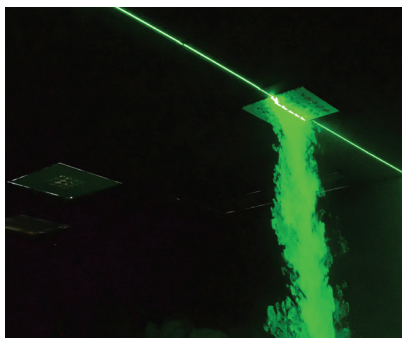
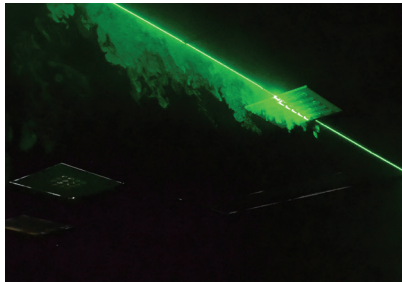


Рис.1. Визуализация воздушного потока

Элементы конструкции CAP-G

1	Мини-камера статического давления
2	Патрубок с резиновым уплотнителем
3	Пружинные зажимы для крепления лицевой панели (внутри корпуса)
4	Лицевая панель
5	Сопла
6	Страховочный тросик (внутри корпуса)

Табл.. 1: Типоразмеры CAP-G

Name	A	C	H ₁	H ₂	øD	m
	(mm)					(kg)
CAP-G-125-16*	326	360	119	248	124	2,0
CAP-G-160-25*	326	360	122	261	159	2,1
CAP-G-200-36*	426	460	122	296	199	3,3
CAP-G-250-49*	566	600	122	351	249	5,0
CAP-G-315-81*	566	600	119	398	314	5,0

NOTE: * количество сопел

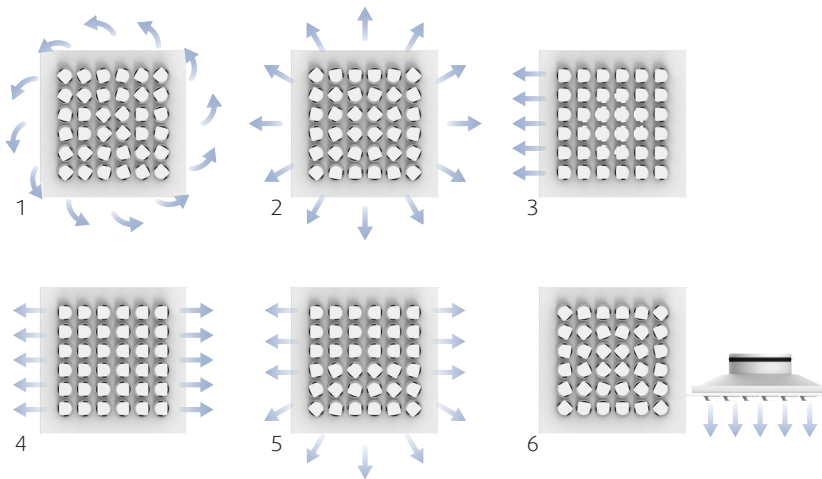


Рис. 3. Регулирование картины распределения при помощи поворотных дисков

Типоразмеры

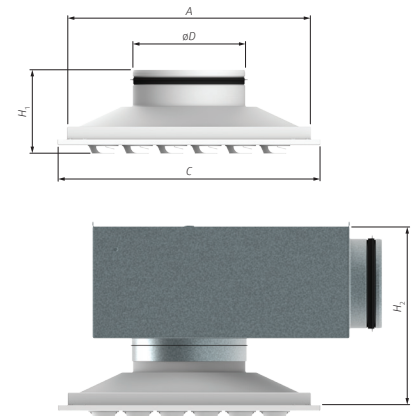
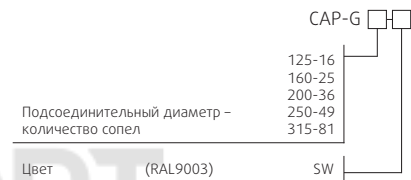


Рис.4. Типоразмеры CAP-G

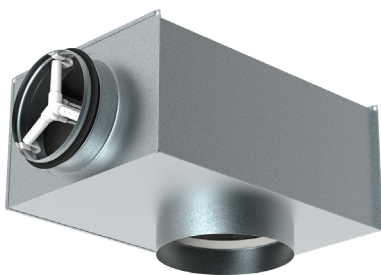
1	Тангенциальное горизонтальное вихревое распределение
2	Радиальный горизонтальный воздушный поток во все стороны
3	Горизонтальное распределение в 1 сторону
4	Горизонтальное распределение в 2 стороны
5	Горизонтальное распределение в 3 стороны
6	Вертикальное распределение

Код заказа



Дополнительные принадлежности

THOR
Камера статического давления



Описание

Камера статического давления THOR применяется совместно с диффузорами для снижения давления, выравнивания воздушного потока, а также для измерения и регулирования воздушного потока. Камера может использоваться как на приток, так и на вытяжку.

Конструкция

Камера статического давления THOR изготовлена из оцинкованной стали. Соединительные патрубки оснащены резиновым уплотнителем, проверенным на герметичность.

Быстрый подбор

Тип	Расход воздуха q_v при разных уровнях звукового давления L_{WA}					
	25 дБ		30 дБ		35 дБ	
	м³/ч	л/с	м³/ч	л/с	м³/ч	л/с
CAP-G-125-16	81	23	109	30	137	38
CAP-G-160-25	97	27	132	37	178	49
CAP-G-200-36	131	36	180	50	239	66
CAP-G-250-49	161	45	243	68	318	88
CAP-G-315-81	225	63	342	95	483	134

ПРИМЕЧАНИЕ: рабочие точки измерены с камерой статического давления THOR и открытым демпфером

Технические параметры

p_s	Pa	Перепад давления
q_v	м³/ч л/с	Расход воздуха
L_{WA}	дБ(А)	А-взвешенный уровень звуковой мощности
L_{pA}	дБ(А)	А-взвешенный уровень звукового давления рассчитанный на 10 м² эффективной площади поглощения
L_w	дБ	Невзвешенный уровень звуковой мощности
$L_{0,2}$	м	Дальнейность воздушной струи при конечной скорости 0,2 м/с
L_x	м	Дальнейность воздушной струи при конечной скорости x м/с
x	м/с	Конечная скорость от 0,1 м/с ... 1 м/с
20%, 40%, 60%, 80%, 100%		Положения заслонки в камере давления на диаграммах Падения давления / уровни шума показаны в процентах. 20% соответствует полностью закрытой заслонке. 100% соответствует полностью открытой заслонке.

Расчет расхода воздуха для разных конечных скоростей

$$L_x = L_{0,2} \cdot 0,2/x$$

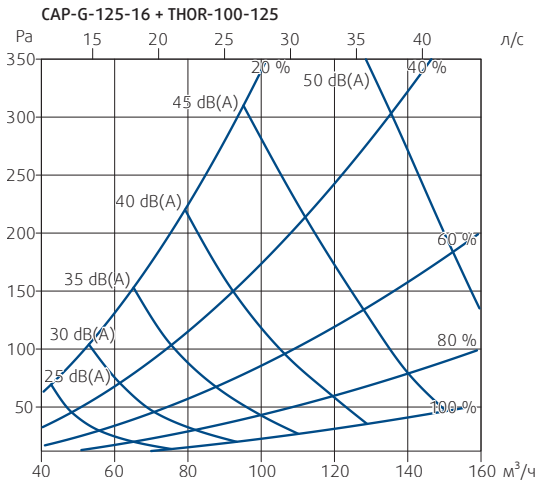


Диаграмма 1: Перепад давлений & A-взвешенный уровень звуковой мощности, с камерой стат. давления THOR

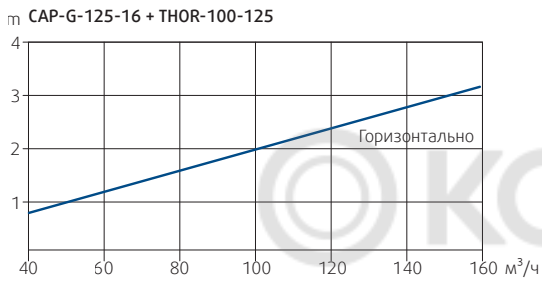


Диаграмма 2: Дальность изотермической струи (горизонтальная подача воздуха) при конечной скорости 0,2 м/с

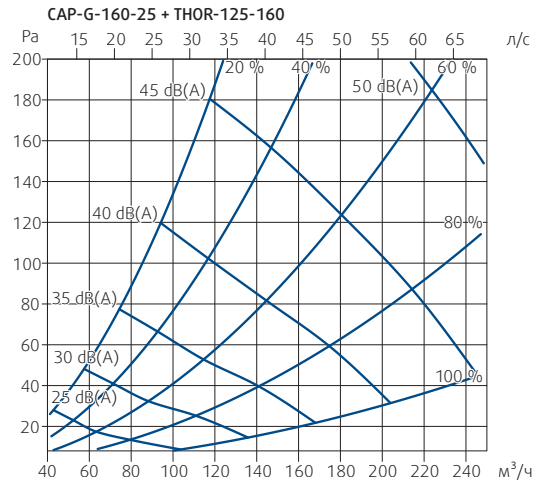


Диаграмма 3: Перепад давлений & A-взвешенный уровень звуковой мощности, с камерой стат. давления THOR

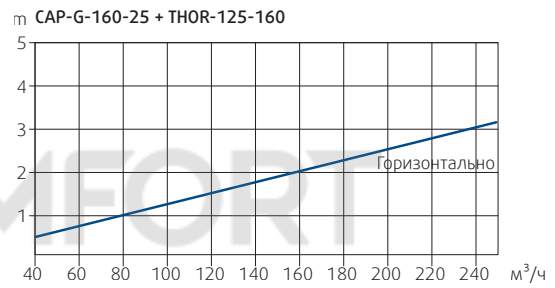


Диаграмма 4: Дальность изотермической струи (горизонтальная подача воздуха) при конечной скорости 0,2 м/с

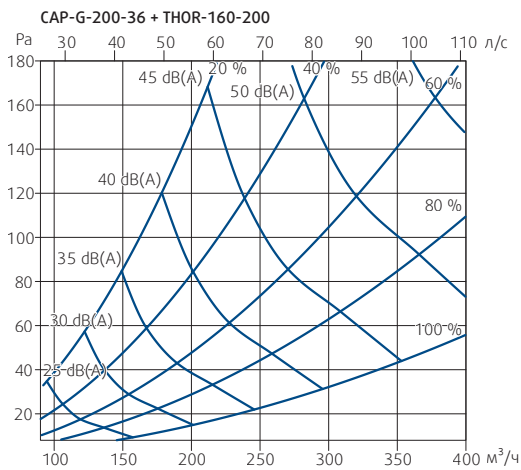


Диаграмма 5: Перепад давлений & A-взвешенный уровень звуковой мощности, с камерой стат. давления THOR

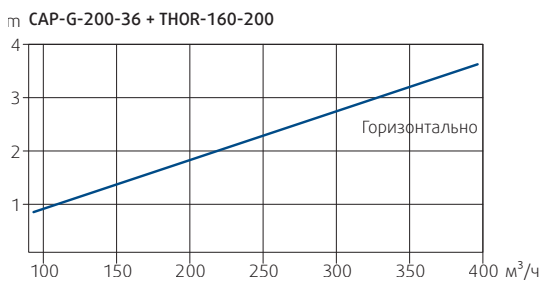


Диаграмма 6: Дальность изотермической струи (горизонтальная подача воздуха) при конечной скорости 0,2 м/с

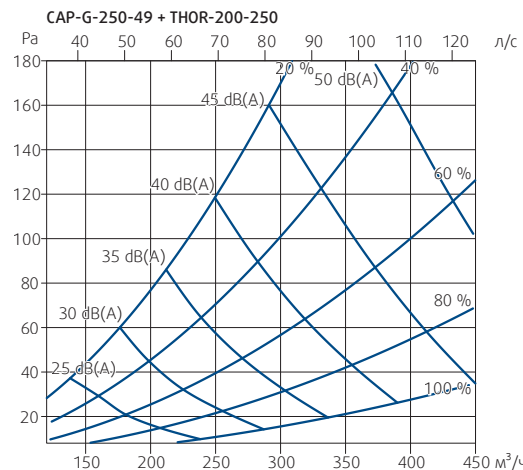


Диаграмма 7: Перепад давлений & A-взвешенный уровень звуковой мощности, с камерой стат. давления THOR

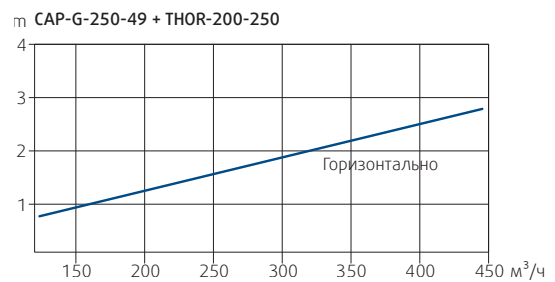


Диаграмма 7: Дальность изотермической струи (горизонтальная подача воздуха) при конечной скорости 0,2 м/с

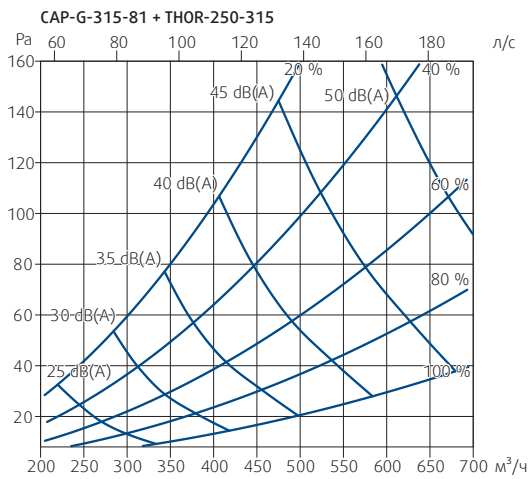


Диаграмма 9: Перепад давлений & A-взвешенный уровень звуковой мощности, с камерой стат. давления THOR

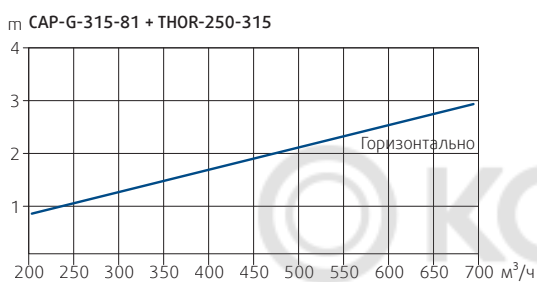


Диаграмма 10: Дальность струи изотермической струи (горизонтальная подача воздуха) при конечной скорости 0,2 м/с

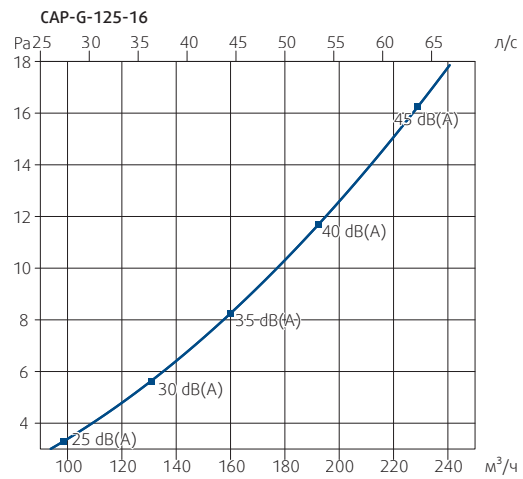


Диаграмма 11: Перепад давлений & A-взвешенный уровень звуковой мощности, с камерой стат. давления THOR

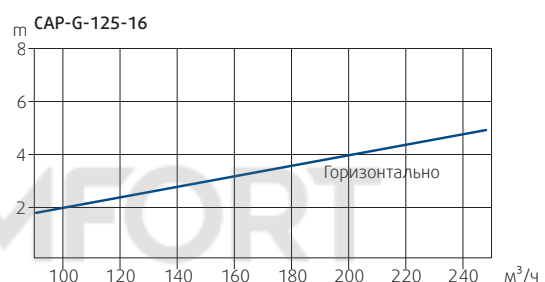


Диаграмма 12: Дальность струи изотермической струи (горизонтальная подача воздуха) при конечной скорости 0,2 м/с

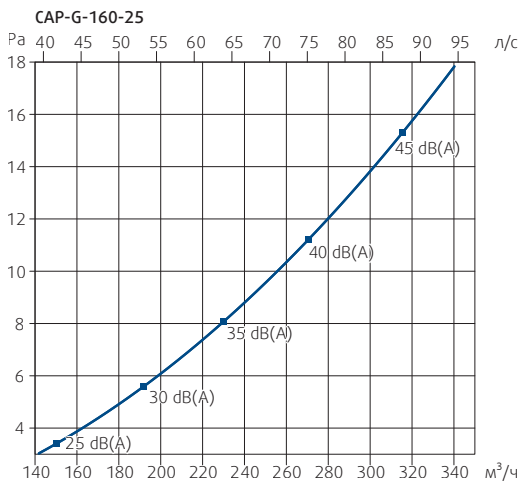


Диаграмма 13: Перепад давлений & A-взвешенный уровень звуковой мощности, с камерой стат. давления THOR

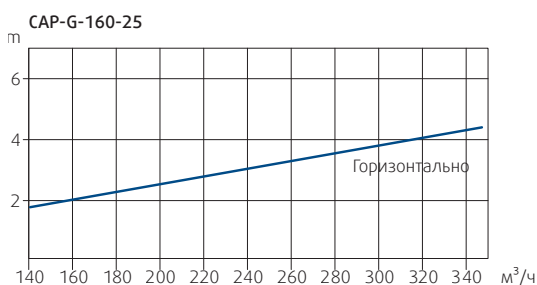


Диаграмма 14: Дальность струи изотермической струи (горизонтальная подача воздуха) при конечной скорости 0,2 м/с

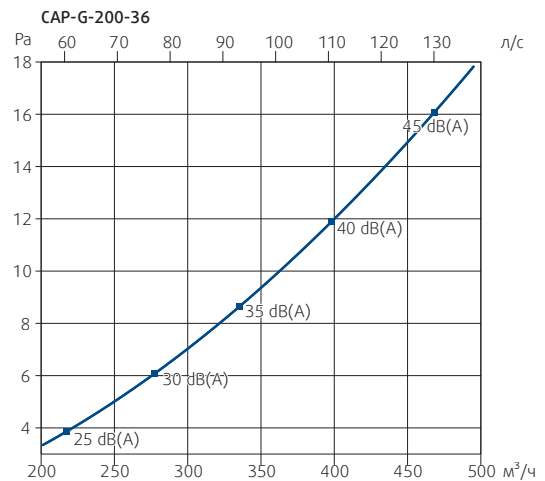


Диаграмма 15: Перепад давлений & A-взвешенный уровень звуковой мощности, с камерой стат. давления THOR

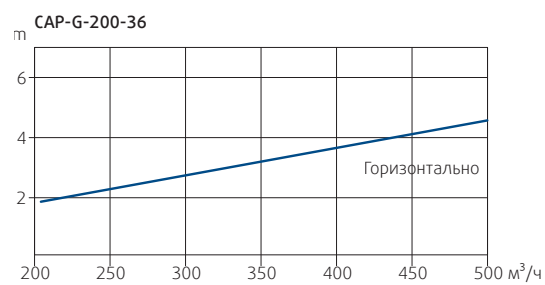


Диаграмма 16: Дальность струи изотермической струи (горизонтальная подача воздуха) при конечной скорости 0,2 м/с

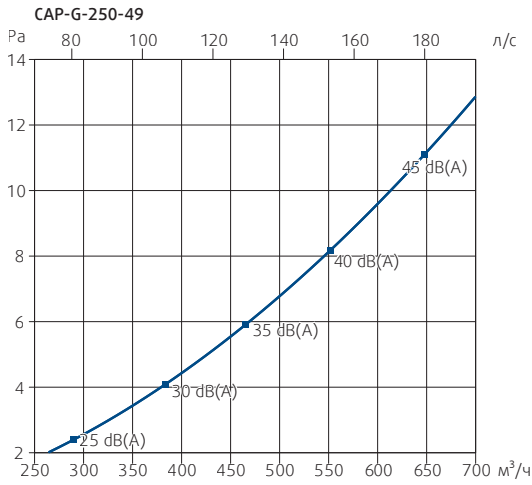


Диаграмма 17: Перепад давлений & A-взвешенный уровень звуковой мощности, с камерой стат. давления THOR

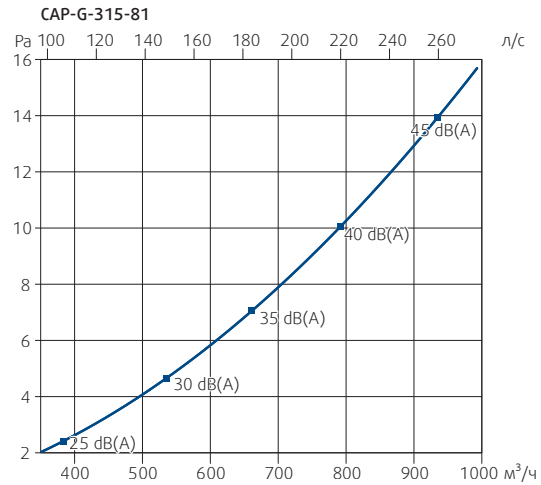


Диаграмма 19: Перепад давлений & A-взвешенный уровень звуковой мощности, с камерой стат. давления THOR

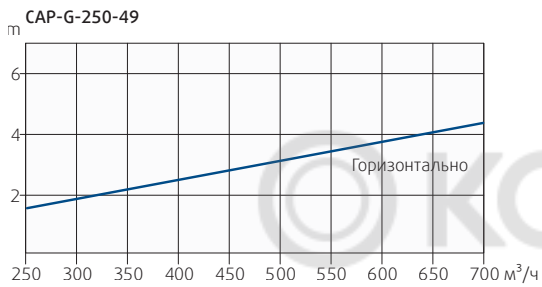


Диаграмма 18: Дальность изотермической струи (горизонтальная подача воздуха) при конечной скорости 0,2 м/с

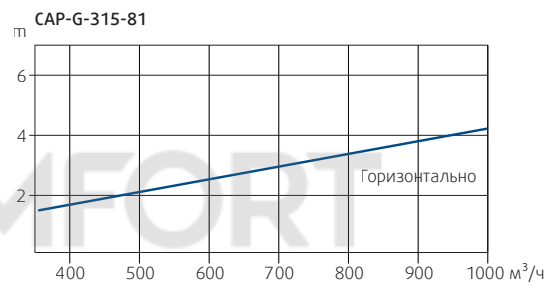


Диаграмма 20: Дальность изотермической струи (горизонтальная подача воздуха) при конечной скорости 0,2 м/с